

## بررسی ظرفیت چشمی اتصال از نقطه نظر مبنای مقاومتی با شرایط هندسی متفاوت

بهرج حسینی‌هاشمی (استادیار)  
روح‌الله احمدی‌جزنی (کارشناس ارشد)  
بزوشهگاه بین‌المللی زلزله‌شناسی و مهندسی زلزله

چشمی اتصال بکی از مهم‌ترین المان‌های قاب خمی فولادی در انتقال نیروی جانبی است. این المان بعضاً به علت رفتار شکل‌پذیر خود، شکل‌پذیری کلی قاب خمی را به همراه تیرها، که خود عضوی شکل‌پذیرند، افزایش می‌دهد. طراحی درست این ناحیه و اجزاء و جزئیات آن ممکن است بر کارایی کلی قاب خمی فولادی تأثیر زیادی داشته باشد. با توجه به این که تاکنون تحقیقات کمی در مورد رفتار لرزه‌ی چشمی اتصال، خصوصاً با تیرهای نابرابر در دو طرف، صورت گرفته است و تأثیرات نابرابری تیرها در دو طرف، بر چشمی اتصال در هنگام بازهای رفت و برگشتی کم‌تر مورد توجه بوده است. هدف اصلی این نوشتار بررسی تحلیلی ظرفیت چشمی اتصال خصوصاً در تیرهای نابرابر در دو طرف بر مبنای «طراحی مقاومتی چشمی اتصال» است.

روش تحقیق در این نوشتار به این صورت است که ابتدا مشخصات یک نمونه‌ی سرهنگی شده‌ی آزمایشگاهی در نرم‌افزار اجزاء محدود ANSYS مدل‌سازی می‌شود و با استناد به انطباق جواب آزمایشگاهی و جواب تحلیلی، نمونه‌هایی تحلیلی که از نقطه نظر پارامتر هندسی چشمی اتصال، ارتفاع تیرهای دو طرف و ضخامت بال ستون متفاوت‌اند، مدل‌سازی می‌شوند. سپس نتایج لرزه‌ی چشمی اتصال برای بررسی و مقایسه‌ی ظرفیت‌های پیشنهادی آین نامه‌ها از نظر مبنای مقاومتی (فرمول ارائه شده در استاندارد ۲۸۰۰) برای چشمی اتصال بدکار می‌رود. نتایج به دست آمده از این تحقیق حاکی از این است که فرمول‌های ارائه شده در استاندارد ۲۸۰۰ (ویرایش سوم) در مورد تخمین ظرفیت چشمی اتصال در برخی شرایط هندسی محافظه‌کارانه و در برخی غیر محافظه‌کارانه است. هنگامی که ضخامت بال ستون افزایش می‌یابد ظرفیت چشمی اتصال که در استاندارد ۲۸۰۰ ارائه شده است، نسبت به مقدار به دست آمده از نتایج تحلیل در این تحقیق کم‌تر است و هنگامی که ضخامت بال ستون کاهش می‌یابد در حالتی که ستون تنها به یک تیر متصل است، یا در تیرهای برابر، نتایج تحقیق نسبت به استاندارد ۲۸۰۰ کم‌تر است.

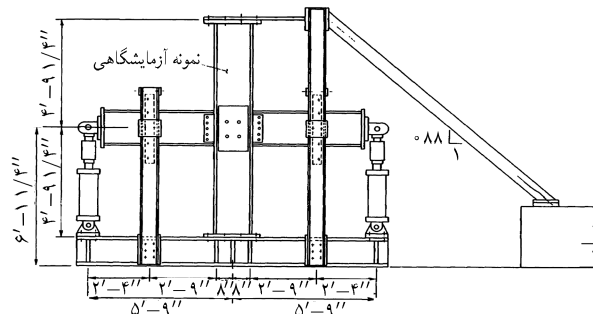
۲. در مطالعات گذشته ظرفیت چشمی اتصال بیشتر براساس بازگذاری افزاینده‌ی استاتیکی انجام شده است ولی در این نوشتار، مبنای ظرفیتی چشمی اتصال از طریق پوشی که بر روی منحنی هیسترزیس رسم می‌شود، به دست می‌آید که به واقعیت رفتاری چشمی اتصال در هنگام بازگذاری لرزه‌ی نزدیک‌تر است.<sup>[۱] و [۲]</sup>

۳. در اغلب تحقیقات گذشته و مخصوصاً در کارهای آزمایشگاهی به دلیل محدودیت‌های تغییر مکان جانبی و نیز به دلیل محدودیت و الزامات دستگاه‌های بازگذاری در بالای نمونه‌ی تیر و ستون سرهنگی شده، از تغییر مکان جانبی در داخل صفحه‌ی بالای ستون جلوگیری شده است، و تغییر مکان بالای ستون و امکان حرکت جانبی یک جزء قاب از بین رفته است.<sup>[۳] و [۴]</sup> از آنجا که چشمی اتصال بیشتر در قاب‌های خمی قابل بحث است، و نیز در قاب‌های خمی امکان حرکت جانبی برای قاب و در نتیجه

**مقدمه**  
در مورد مبانی ظرفیتی چشمی اتصال با تیرهای برابر و نیز در مورد مبانی ظرفیتی چشمی اتصال ستون‌های خارجی ساختمان تحقیقات زیادی انجام شده است؛ اما هدف کلی این نوشتار تعیین ظرفیت چشمی اتصال در مورد تیرهای نابرابر در دو طرف (علاوه بر تیرهای با ارتفاع برابر در دو طرف و تیر در یک طرف در ستون خارجی) است که با استفاده از پوشی که بر روی منحنی‌های هیسترزیس آنها رسم می‌شود میسر خواهد شد.

در این نوشتار سه ویژگی خاص برای مبنای ظرفیت چشمی اتصال در نظر گرفته شده است:

۱. در تحقیقات گذشته در مورد مبانی ظرفیتی چشمی اتصال با تیرهای نابرابر در دو طرف مطالعات اندکی وجود داشته است<sup>[۱]</sup>، و تأثیر نابرابری تیر در چشمی اتصال دیده نشده است.



شکل ۱. شمایی از نمونه‌ی آزمایشگاهی، شاسی، جک‌ها و تکیه‌گاه جانبی آزمایشگاه.<sup>[۴]</sup>

به صورت دقیق‌تری مشاهده کرد. در شکل مذکور می‌توان دید که با یک ابزار افقی جلوی تغییر مکان بالای ستون در داخل صفحه گرفته شده است، که این محدودیت به ناچار و به دلیل محدودیت حرکت جانبی جک محوری که بارگذاری محوری را روی ستون انجام می‌دهد اعمال شده است. نحوه‌ی بارگذاری روی تیرها از نوع کنترل نیرو بوده، و باز محوری ستون نیز براساس بیشترین بار محوری ناشی از بارگذاری قللی است که در ستون تنש ۲۱ ksi ایجاد می‌کند انتخاب شده است. این مقدار بار محوری به همین صورت در طول آزمایش ثابت می‌ماند، سپس تیرها به صورت رفت و برگشتی بارگذاری می‌شوند. نحوه‌ی بارگذاری چنین است که یک تیر به سمت پایین بارگذاری، و طرف دیگر در همان لحظه به سمت بالا بارگذاری می‌شود. انتهای تیرها ابتدا در دو سیکل اول تا رسیدن به  $\frac{1}{6}$  تنش مجاز خمی اسمی (۱۲ ksi) بارگذاری می‌شوند، و در مرحله‌ی بعد بارگذاری تیرها تا مرز تنش مجاز خمی ۲۴ ksi افزایش داده می‌شود و دو سیکل تکرار می‌شود. این بارگذاری‌ها با رها افزایش می‌یابند تا به تنش اسمی جاری شدگی ۳۶ ksi برسند که براساس فرض کشسانی به دست آمداند و یک یا دو سیکل در این محدوده تکرار می‌شوند. مرحله‌ی بارگذاری بعدی براساس تنش حد جاری شدن ۳۶ ksi است که براساس مقطع خمیری قابل محاسبه است. مجدداً دو سیکل در این حالت تکرار می‌شود. با توجه به این حالت اخیر بارگذاری، و براساس حلقه‌های هیسترزیس به دست آمد می‌توان به اطلاعاتی راجع به شکل پذیری مجموعه دست یافت. این افزایش بار تا آن جا که گسیختگی در نمونه اتفاق می‌افتد ادامه دارد. با توجه به این که نمونه‌ی آزمایشگاهی شماره ۸ از این مجموعه حلقه‌ی هیسترزیس رفتاری کاملاً پایدار از خود نشان می‌دهد و لغزش در این نمونه، که از پیچ‌های مقاوم استفاده شده بود و از سطوح متصل شده‌ی خوبی بین دو قطعه تیر و اتصال برخوردار بود لغزش پیچ دیده نشد و هیچ‌گونه گسیختگی در جوش‌ها اتفاق نیفتاد، این نمونه مبنای مدل‌سازی قرار گرفت. جزئیات ساخت این نمونه در شکل ۲ نشان داده شده است.

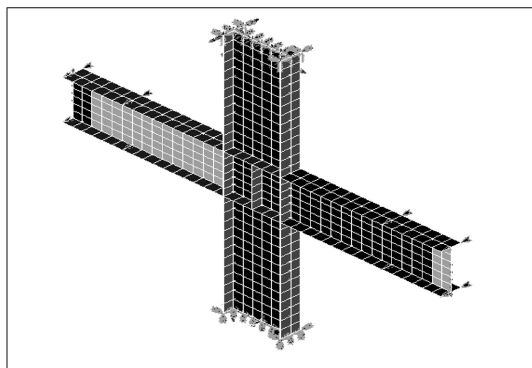
شکل ۳ شکست بال پایینی تیر را نشان می‌دهد. این نمونه دارای

ستون در داخل صفحه‌ی خود وجود دارد، در نمونه‌های مدل‌سازی شده درجه‌ی آزادی سرستون در داخل صفحه بازگذاشته می‌شود که این امر امکان بررسی و تأثیر کمانش کلی ستون در چشمی اتصال را فراهم می‌کند و به واقعیت فیزیکی نزدیک‌تر است. البته یادآور می‌شویم که واقعیت قضیه در اتصال صلیبی تیر به ستون که از یک قاب اقتیاس شده است، حالتی بین گیرداری کامل بالای ستون اتصال صلیبی و آزادی کامل بالای ستون است و باید مثلاً بالای ستون به فری متصل شود که سختی آن وابسته به سختی اجزای بالا و پایین و سمت راست و چپ اتصال صلیبی سرهمندی شده است. اما چون عملاً پیدا کردن این سختی کاری دشوار و پیچیده است، بالای این اتصال صلیبی سرهمندی شده بازگذاشته می‌شود و این کار، نسبت به حالتی که درجه‌ی آزادی بالای ستون بسته باشد به واقعیت نزدیک‌تر است؛ و از نظر پیدا کردن ظرفیت و شکل پذیری چشمی اتصال نیز محافظه‌کارانه است.<sup>[۵]</sup> مدل‌سازی نمونه‌های تعریف شده به استناد صحت عملکرد رفتاری و انطباق عملکرد مدل تحلیلی و آزمایشگاهی انجام می‌شود، و سعی خواهد شد مشخصات نمونه‌ها از نظر ابعاد هندسی با یک روداری معین و نیز با فرض عملکرد مشابه در یک محدوده روداری مشخص، تعریف شوند. در این نوشتار سه پارامتر اصلی مورد بحث قرار می‌گیرند که بر روی چشمی اتصال تأثیرگذارند:

۱. ضخامت چشمی اتصال بر مبنای طراحی ناحیه اتصال قوی طرح می‌شود و تغییر می‌کند؛
۲. ضخامت بال ستون تغییر می‌کند؛
۳. ارتفاع تیرهای دو طرف نسبت به هم تغییر می‌کنند.

### مروری برآزمایش مبنای و بارگذاری آن

با توجه به مواردی که درباره‌ی رفتار چشمی اتصال بیان شد، و در نتیجه لزوم انجام مجموعه آزمایشاتی نمونه‌هایی برای این آزمایش‌ها ساخته شد.<sup>[۶]</sup> به علت اینکه آزمایش و بارگذاری روی نمونه‌هایی با تیر و ستون‌های در مقیاس واقعی وجود نداشت، تصمیم گرفته شد که با فرض در وسط قرارگرفتن نقطه‌ی عطف در تیرها و ستون‌های نمونه‌ی سرهمندی شده، تمام ابعاد طولی مدل‌ها تا نقطه‌ی عطف و در مقیاس  $\frac{1}{6}$  ساخته شود. هر نمونه‌ی سرهمندی شده، تیر و ستون در نقطه‌ی اتصال از یک تیر به ارتفاع نقطه‌ی عطف تا نقطه‌ی عطف  $\frac{9}{6}$  فوت و  $\frac{5}{6}$  اینچ ساخته شده بود. برای اطلاع از جزئیات آزمایش می‌توان به کارهای آزمایشگاهی انجام شده در این مراجعة کرد.<sup>[۶]</sup> شمایی از جزئیات دقیق‌تر آزمایش در شکل ۱ ترسیم شده است که در آن می‌توان جک‌ها و تکیه‌گاه‌های اصلی و جانبی و جزئیات اتصال را

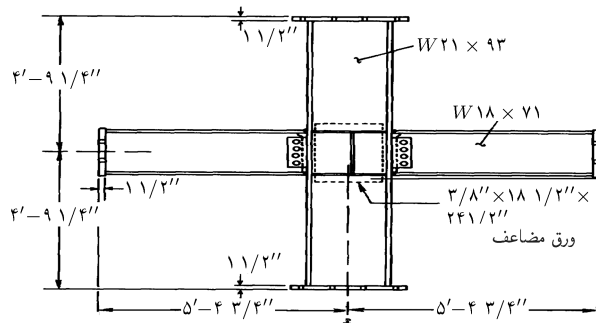


شکل ۴. مدل تحلیلی نمونه.

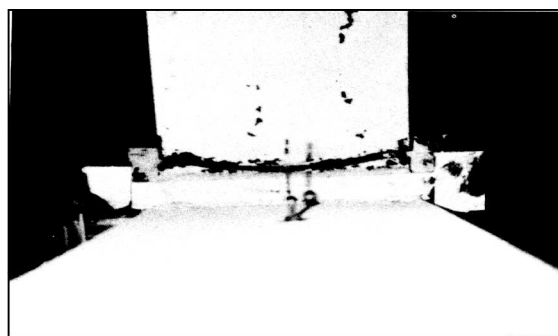
خودداری شد، زیرا براساس شواهد ناشی از نتایج آزمایشگاهی [۶] و به واسطه استفاده از پیچ‌هایی با مقاومت خیلی بالا (و با مراجعه به نتایج آزمایش نمونه‌های آزمایشگاهی که در آن مؤکداً ذکر شده است که در پیچ‌ها و برش‌گیر متصل به آن هیچ لغزشی رخ نداده است) لزومی بر مدل کردن پیچ‌ها دیده نشد. زیرا بحث اصلی عملکرد ناحیه اتصال بوده است و هر عاملی که تأثیری در نتایج نگذارد برای پیش‌گیری از اضافه شدن درجهات آزادی، و نتیجتاً پیچیده شدن تحلیل (تا آنجا که در وقت تحلیل تأثیر نگذارد)، حذف شده است. [۷] برای مدل کردن تکیه‌گاه‌های جانبی که در مدل اصلی وجود داشت در محل تکیه‌گاه‌های جانبی در نمونه‌ی آزمایشگاهی، در نمونه تحلیلی جلوی درجه آزادی خارج صفحه گرفته شد. از آن‌جاکه در نمونه‌های آزمایشگاهی مؤکداً در قسمت «بحث در مرور نتایج آزمایش» آمده بود که ورق‌های پیوستگی و ورق سخت‌کننده قائم به سمت بیرون صفحه‌ی ستون کمانش کرده‌اند، این مسئله نیز در مدل تحلیلی به وسیله‌ی تحلیل کمانش در جای خود گنجانده شده است. برای مدل کردن کمانش، تحلیل کمانش بروی نمونه‌ی تحلیلی مورد نظر انجام شد تا مدهای کمانشی به دست آید. سپس بارهای کمانشی که معرف نقص اولیه در سازه‌اند در جای خود قرار داده شدند. نتایج تحلیلی ناشی از تحلیل کمانش در نمونه‌ی تحلیلی و انطباق آن با کمانش در نمونه‌ی واقعی در ادامه ارائه شده است.

### فرضیات تحلیلی و بارگذاری نمونه‌ی تحلیلی

در تحلیل این مدل فرض شده است که مصالح به طور کامل از خواص خمیرسانی و کشسانی پیروی می‌کنند. سخت‌شدنگی مجدد<sup>۱</sup> همسان در کشش و فشار در تحلیل با بارگذاری رفت و برگشتی برای فولاد فرض شد. خواص غیرخطی هندسی از طریق کرنش‌های کوچک و فرمول‌بندی تغییر مکان‌های بزرگ در نظر گرفته شده است که تمام این موارد با توجه به امکانات نرم‌افزار ایجاد شده است. این نرم‌افزار قابلیت در نظر گرفتن تأمین خواص غیرخطی مصالح و هندسی را دارد. باید به این نکته اشاره کرد که وجود جوش انگشتانه در آزمایش واقعی، در



شکل ۲. شماتیک از نمونه‌ی آزمایشگاهی. [۶]



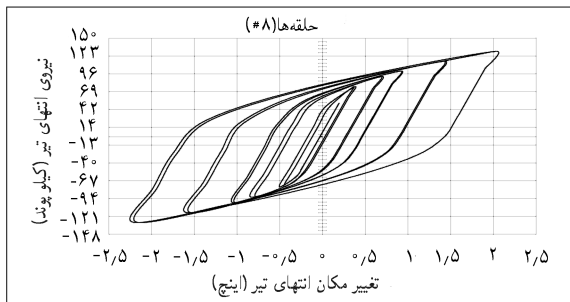
شکل ۳. گسیختگی بال پایینی نمونه آزمایشگاهی. [۶]

دو بال گسیخته شده در یک زمان بود. لازم است یاد آور شویم که در تمام حالات جوش انگشتانه بر روی ورق مضاعف مؤثر تشخیص داده شده است. [۶]

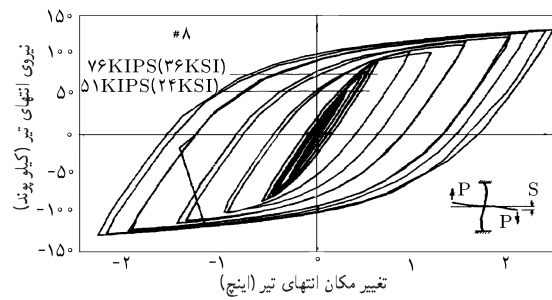
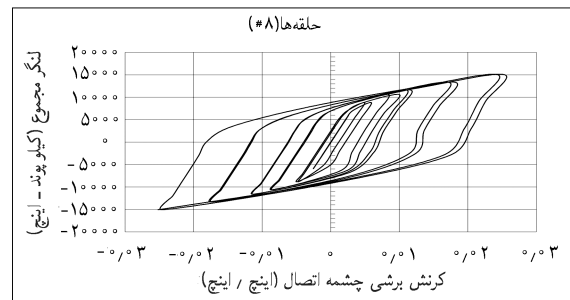
### شرح مدل سازی

با توجه به مدل اصلی آزمایشگاهی که به آن اشاره شد، ابعاد هندسی مدل تحلیلی اصلی در نرم‌افزار ANSYS ساخته شد و با استفاده از المان غیرخطی شیل ۴۳ مشبندی شد و صحبت روی هم افتادن گره‌های تک‌تک المان‌ها روی مزهزا مورد بازبینی قرار گرفت. باید توجه داشت که انتخاب المان مذکور به صورت سعی و خطأ انجام شده است تا جواب چرخه‌یی مدل تحلیلی و آزمایشگاهی با تقریب نزدیکی برای باشند.

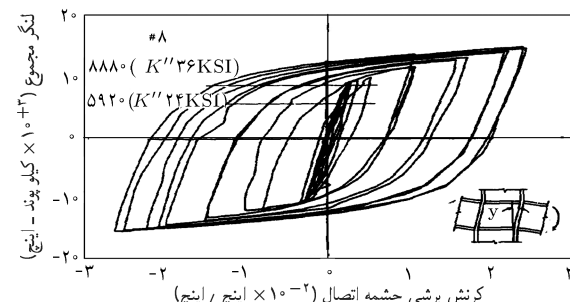
نمایی از مدل تحلیلی نمونه در شکل ۴ ارائه شده است. در این مدل به وضوح دیده می‌شود که جوش‌های بال‌های تیر به جان ستون مدل نشد، زیرا چنان که اشاره شد در این نمونه‌ی آزمایشگاهی جاری شدن بال‌ها در جوش و در منطقه‌ی حرارت‌زده رخ نداده است و هیچ شکستی در این نمونه‌ها در محل جوش‌ها، در محل برخورد بال‌تیر به بال ستون، و نیز در سایر مواضع جوشکاری رخ نداده است؛ بنابراین برای مدل کردن سازه در رایانه از مدل کردن جوش و خواص آن به عنوان یک جسم ترد صرف نظر شد. همچنین از مدل کردن پیچ‌ها و برش‌گیر



شکل ۵. منحنی رفتار لرزه‌بی نیرو - تغییر مکان برای مدل تحلیلی.

شکل ۶. منحنی رفتار لرزه‌بی نیرو - تغییر مکان برای مدل آزمایشگاهی.<sup>[۶]</sup>

شکل ۷. لنگر برحسب کرنش برشی چشمی اتصال برای نمونه‌ی تحلیلی.

شکل ۸. لنگر برحسب کرنش برشی چشمی اتصال برای نمونه آزمایشگاهی.<sup>[۶]</sup>

لحظه‌ی گسیختگی و از نظر شکل و تعداد حلقه‌ها در حین آزمایش است. از مطلب فوق می‌توان چنین نتیجه گرفت که انطباق خوبی بین مدل آزمایشگاهی و تحلیلی وجود دارد و مدل تحلیلی تا حد زیادی در محدوده‌ی بارهای به کار برده شده قابل اطمینان است و می‌توان از آن برای مدل‌سازی نمونه‌های مشابه از نظر رفتاری استفاده کرد. در

الحقِ کاملِ ورق مضاعف به جان ستون مؤثر تشخیص داده شده است و این دو صفحه به‌واسطه‌ی این جوش به هم دوخته شده‌اند. به همین دلیل موضوع کمانش نسبی ورق مضاعف نسبت به جان ستون مدل نشد، ولی تمام کمانش‌ها یعنی کمانش ورق مضاعف و جان ستون با هم و کمانش سخت‌کننده‌ها در چشمی اتصال مدل شده است. همچنین تحلیل از نوع غیرخطی و استاتیکی است و براساس نظریه‌ی خمیرسانی کلاسیک و براساس معیارگسیختگی فون میسز انجام شده است.

باید تأکید کرد که در مطالعات انجام شده موضوع انتشار ترک مورد ملاحظه قرار نگرفته است. این نکته به قابلیت ترک‌پذیری از طریق گسترش تنفس در مصالح، که باعث تسهیل در شکست سازه می‌شود، بستگی دارد. و این امر به شرطی میسر است که یک ترک یا نامنظمی در سازه معرفی شده باشد.<sup>[۷]</sup> بارگذاری این مدل تحلیلی، همانند مدل آزمایشگاهی، از نوع کترل نیرو بوده و تمام گام‌های بارگذاری که در نمونه‌ی اصلی آزمایشگاهی اعمال شده، در بند ۳ به آن اشاره شد، در بارگذاری نمونه‌ی آزمایشگاهی گنجانده شده است. شرایط مرزی مدل آزمایشگاهی نیز عیناً در مدل تحلیلی گنجانده شده است.

**تأیید مدل تحلیلی با توجه به نتایج آزمایشگاهی**  
با توجه به نکات گفته شده و با استفاده از قوانین تسلیم، سرانجام برای توجیه رفتار لرزه‌بی مدل تحلیلی و تحلیل نهایی مدل، منحنی رفتار لرزه‌بی کشیده شد. برابر منحنی‌های رفتار لرزه‌بی مدل تحلیلی و مدل آزمایشگاهی نشان‌دهنده‌ی صحت تقریبی مدل تحلیلی است. عملت تقریبی بودن این انطباق فرض‌هایی است که برمبنای نظریه‌های کیسانی و خمیرسانی بر المان‌های اجزاء محدود حاکم است، و همچنین تقریب‌هایی که برای ساده‌سازی در مصالح بروی آنها فرض می‌شود.<sup>[۸]</sup> در شکل ۵ و ۶ حلقه‌های هیسترزیس نیرو، تغییر مکان نوک تیر طره در نمونه‌ی آزمایشگاهی و نمونه‌ی تحلیلی کشیده شده است که بیشینه‌ی بار نمونه‌ی تحلیلی در خاتمه‌ی تحلیل و لحظه‌ی عدم همگرای تحلیل در نرم افزار به  $13^{\circ}$  kips و تغییر مکان متاظر به  $-2,21\text{inch}$  می‌رسد. این مقدار در نمونه‌ی آزمایشگاهی به  $122\text{kips}$ ، و تغییر مکان انتهایی به  $-2,5\text{inch}$  می‌رسد که اختلافی بسیار جزئی است و مطابقت خوبی بین حلقه‌های هیسترزیس آزمایشگاهی و تحلیلی در حین آزمایش و در لحظه گسیختگی وجود دارد. همچنین منحنی لرزه‌بی لنگر خمی مجموع وجه ستون برحسب کرنش متوسط برشی ناحیه‌ی اتصال برای نمونه‌ی تحلیلی و آزمایشگاهی در شکل ۷ و ۸ نشان داده شده است. بر این اساس، بیشترین مقدار لنگر برای هردو تقریباً برابر  $15000\text{kips-in}$  و در اعوچاج  $25^{\circ}$  رادیان، رخ داده است، که باز هم حاکی از مطابقت خوب نتایج آزمایشگاهی و تحلیلی (در

جدول ۲. مشخصات تیرهای ساخته شده به شکل I (با بال برابر).

تیر ۴	تیر ۳	تیر ۲	تیر ۱	
۲۵	۳۲	۴۰	۵۰	ارتفاع کلی جان تیر (cm)
۱	۱	۱	۱	ضخامت جان تیر (cm)
۱۵	۱۵	۱۵	۱۵	عرض بال تیر (cm)
۲	۲	۲	۲	ضخامت بال تیر (cm)

جدول ۳. مشخصات نمونه‌های سری ۱.

تیر سمت راست	تیر سمت چپ	نوع ستون	سری ۱
تیر ۱	تیر ۱	ستون ۱	۵۰-۵۰
تیر ۱	تیر ۲	ستون ۱	۵۰-۴۰
تیر ۱	تیر ۳	ستون ۱	۵۰-۳۲
تیر ۱	تیر ۴	ستون ۱	۵۰-۲۵
تیر ۱	بدون تیر	ستون ۱	۵۰-۰

جدول ۴. مشخصات نمونه‌های سری ۲.

تیر سمت راست	تیر سمت چپ	نوع ستون	سری ۱
تیر ۱	تیر ۱	ستون ۲	۵۰-۵۰
تیر ۱	تیر ۲	ستون ۲	۵۰-۴۰
تیر ۱	تیر ۳	ستون ۲	۵۰-۳۲
تیر ۱	تیر ۴	ستون ۲	۵۰-۲۵
تیر ۱	بدون تیر	ستون ۲	۵۰-۰

جدول ۵. مشخصات نمونه‌های سری ۳.

تیر سمت راست	تیر سمت چپ	نوع ستون	سری ۱
تیر ۱	تیر ۱	ستون ۳	۵۰-۵۰
تیر ۱	تیر ۲	ستون ۳	۵۰-۴۰
تیر ۱	تیر ۳	ستون ۳	۵۰-۳۲
تیر ۱	تیر ۴	ستون ۳	۵۰-۲۵
تیر ۱	بدون تیر	ستون ۳	۵۰-۰

جدول ۶. طراحی ناحیه‌ی اتصال برای سری ۱.

پیوستگی	طراحی بر مبنای مقاومتی		سری ۱
	$t_{pz}$	$V_{pz}$	
۲	۲/۳	۲۰۵۸۱۵	۵۰-۵۰
۲	۲/۲	۲۰۰۲۱۲	۵۰-۴۰
۲	۲/۱	۱۹۴۴۷۷	۵۰-۳۲
۲	۲/۱	۱۹۷۷۹۲	۵۰-۲۵
۲	۲/۱	۲۱۴۵۰۰	۵۰-۰

خاتمه‌ی این بحث یادآور می‌شویم که اگر در شکل‌های مذکور دقت شود اختلاف محسوسی در شکل‌های آزمایشگاهی و تحلیلی در نوک قله‌ی حلقه‌های هیسترزیس دیده می‌شود که براساس تحقیقات گذشته علمت تیزی حلقه‌ی هیسترزیس در چشمۀ ای انصال در حالت تحلیلی (نسبت به مدل آزمایشگاهی) این است که تنش‌های پس‌ماند در آنالیز تحلیلی گنجانده نشده است در حالی که در واقعیت وجود دارد.<sup>[۷]</sup> و نکته‌ی دیگری که مطرح بود لحاظ داشتن اثر کمانش، اعم از کلی و موضعی، و مطابقت آن با کمانش در نمونه‌ی آزمایشگاهی بود. نتیجه‌ی تحلیل مodal کمانش برای یافتن موده‌های اصلی کمانش نمایان گران‌طبقاً مناسب محل و مقدار کمانش، اعم از کلی و موضعی، در نمونه‌ی تحلیلی آزمایشگاهی با مدل تحلیلی است. کمانش موضعی در مرکز چشمۀ اتصال نمونه‌ی تحلیلی به مقدار  $۵\text{ cm} \times ۵\text{ cm}$  سانتی‌متر رخ داده است؛ همچنین در محل ورق پیوستگی پشت نمونه که ورق پیوستگی قائم وجود ندارد در نمونه‌ی تحلیلی کمانش موضعی به اندازه‌ی  $۱/۲\text{ cm} \times ۱/۲\text{ cm}$  سانتی‌متر در داخل صفحه به وجود آمده است که در نمونه‌ی آزمایشگاهی این کمانش‌ها با مقادیر نزدیک به مقادیر فوق گزارش شده است.<sup>[۶]</sup>

### معرفی مدل‌های مقایسه‌ی تحلیلی

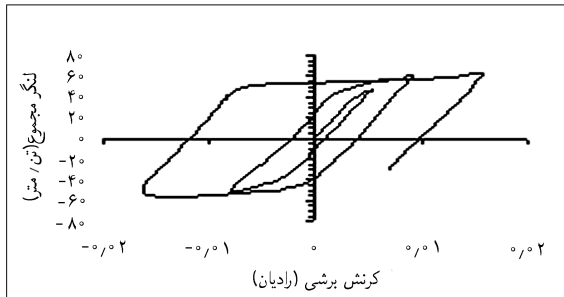
در این نوشتار از سه دسته مدل سرهمندی شده استفاده شده است که اختلاف آنها فقط در ضخامت بال ستون در آنها است. در هر دسته ۵ ارتفاع متغیر تیر با ارتفاع‌های مشخص تعریف می‌شود و در هر اختلاف ارتفاع معین تیرها در هر سری چشمۀ اتصال براساس ناحیه‌ی اتصال قوی طراحی می‌شود و ضخامت چشمۀ اتصال برای آن‌ها به دست می‌آید که با این اوصاف، ما ۱۵ نمونه داریم. نکته‌ی که در اینجا قابل اهمیت است، استفاده از المان غیرخطی شل ۴۳ است که با همان ابعاد  $۱۰\text{ cm} \times ۱۰\text{ cm} \times ۱\text{ cm}$  استفاده شده است و این ابعاد تقریباً همان ابعادی است که برای مدل‌سازی نمونه‌ی اصلی به کار گرفته شده است. تمام نمونه‌ها براساس آین نامه‌ی فولاد ایران (مبحث ۱۰)<sup>[۹]</sup> و استاندارد ۲۸۰۰ (پیوست ۲ ویرایش ۳)<sup>[۱۰]</sup> طراحی شدند و مشخصات مصالح برمبنای فولاد ST-۳۷ است.<sup>[۱۱]</sup> مشخصات کلیه‌ی سری‌های و نمونه‌ها در جدول ۱ تا ۸ آمده است.

جدول ۱. مشخصات ستون‌های ساخته شده به شکل I (با بال برابر).

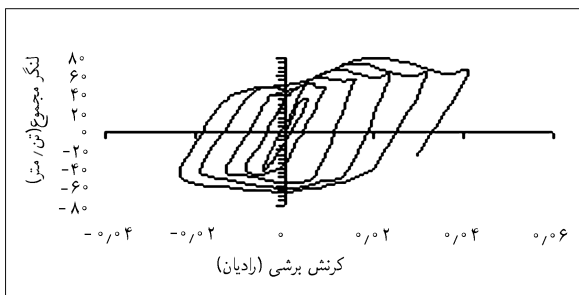
ستون ۳	ستون ۲	ستون ۱	
۶۰	۶۰	۶۰	ارتفاع کلی جان ستون (cm)
۱/۵	۱/۵	۱/۵	ضخامت جان ستون (cm)
۲۷	۲۷	۲۷	عرض بال ستون (cm)
۴/۵	۳/۵	۲/۵	ضخامت بال ستون (cm)

همچنین تغییر مکان تیر  $40^{\circ}$  سمت چپ ( $1/25 = 5^{\circ}$ ) برابر تیر  $50^{\circ}$  سمت راست و در جهت مخالف آن باشد. برای نمونه های  $32$  و  $25$  نیز این اعداد به  $1/67$  و  $2^{\circ}$  می رستند.

نکته بی که باید توجه داشت این است که در این روش فرض های زیادی وجود داشته است؛ مثلاً تغییر مکان های سر تیرها با فرض صلب بودن و عدم چرخش تکیه گاه به دست آمده است. همچنین این مسئله تا حد رفتار کشسانی صحیح است و در قسمت خمیری هیچ ضابطه بی که مؤید مطالب فوق باشد وجود ندارد. لذا به ناچار چند نمونه با نسبت های ارتفاع تیر مختلف در دو طرف با نسبت های تغییر مکانی متفاوت در تیر دو طرف تحلیل شد. از جمله این نمونه ها مدل  $50-40$  و  $50-32$  و  $50-25$  بود که در مورد مدل  $50-25$  این مدل با نسبت های  $\frac{(\Delta_{\max})_{Beam^x}}{(\Delta_{\max})_{Beam^y}}$  برابر  $4/89$  و  $2$  و  $1/5$  می باشد. این مدل با رگذاری و تحلیل شد. منحنی رفتار لرزه بی مجموع لنگر چشمی اتصال بر حسب دوزان بشی چشمی اتصال در شکل های  $9$  تا  $12$  موجود است. از مقایسه های حلقه های هیستوژنیس در بارگذاری های تغییر مکانی و با نسبت های مختلف مشاهده می شود که بیشترین لنگر نهایی و اعوجاج بشی، مربوط به منحنی بی است که بار تغییر مکانی در تیر  $25^{\circ}$  آن دو برابر بار تغییر مکانی تیر  $50^{\circ}$  و در جهت مخالف باشد که این تحلیل، نظریه ای فوق را تا حد زیادی تأیید می کند. تحلیل های فوق با نسبت های متفاوت بارگذاری برای تیرهای دو طرف در نمونه های



شکل ۹. منحنی رفتار لرزه بی چشمی اتصال در نمونه  $50-25$  سری  $1$ ، هنگامی که بارگذاری تغییر مکانی در تیر  $25^{\circ}$  نصف تیر  $50^{\circ}$  باشد.



شکل ۱۰. منحنی رفتار لرزه بی چشمی اتصال در نمونه  $50-25$  سری  $1$ ، هنگامی که بارگذاری تغییر مکانی در تیر  $50^{\circ}$  برابر تیر  $25^{\circ}$  باشد.

جدول ۷. طراحی ناحیه ای اتصال برای سری  $2$ .

پیوستگی	ضخامت ورق		سری $2$
	$t_{pz}$	$V_{pz}$	
نیاز ندارد	$2/1$	$207005$	$50-50$
نیاز ندارد	$2$	$203319$	$50-40$
نیاز ندارد	$1/9$	$199452$	$50-32$
نیاز ندارد	$1/8$	$195757$	$50-25$
نیاز ندارد	$1/8$	$226687$	$50-0$

جدول ۸. طراحی ناحیه ای اتصال برای سری  $3$ .

پیوستگی	ضخامت ورق		سری $3$
	$t_{pz}$	$V_{pz}$	
نیاز ندارد	$1/9$	$212947$	$50-50$
نیاز ندارد	$1/8$	$211860$	$50-40$
نیاز ندارد	$1/6$	$201661$	$50-32$
نیاز ندارد	$1/6$	$209610$	$50-25$
نیاز ندارد	$1/6$	$260152$	$50-0$

\* تمامی واحدها بر حسب kg و cm داده شده اند، و  $V_{pz}$  داده شده اند. اتصال و  $t_{pz}$  ضخامت چشمی اتصال اند.

## نحوه بارگذاری روی تیرهای دو طرف با ارتفاع نابرابر، و بارگذاری روی ستون مدل ها

برای بارگذاری در دو سر تیر از نوع بارگذاری تغییر مکانی رفت و برگشتی استفاده شده است. تحلیل این نمونه ها از نوع کنتل تغییر مکان است. نکته ای اساسی دیگری که در اینجا مطرح بود مجھول بودن نسبت بارگذاری دو سر تیر طره به علت تیرهای متفاوت از نظر ابعاد در دو طرف بود. چون تیرهای دو طرف از نظر ارتفاعی و مشخصات هندسی مقطع نابرابرند، بنابراین باید طبق ضابطه بی مشخص تغییر مکان ها در دو طرف به طور متفاوت اعمال می شد. نکته بی که در اینجا مطرح است، اعمال تغییر مکان ها به گونه بی است که تغییر مکان ها و به تبع آن تنش در دو سر تیر نابرابر در دو طرف، با هم بیشینه شوند. اگر فرض شود که تیرها همگی با هم به تنش بیشینه برسند، با توجه به اینکه جنس مصالح در تمام مدل ها یکی است و از یک نوع فولاد، استفاده شده است، تا هنگام شروع تسلیم تقریباً روابط خطی مقاومت مصالح برقرار است. با استفاده از روابط تغییر مکانی و مقاومتی می توان در حالت خطی ثابت کرد که نسبت بارگذاری های تغییر مکانی در دو تیر نابرابر در دو طرف باید به نسبت عکس ارتفاع های مقاطع باشند<sup>[12]</sup>، یعنی در حالت کلی در نمونه های  $50-50$  و  $50-40$  و  $50-32$  و  $50-25$  به ترتیب تغییر مکان تیر  $5^{\circ}$  سمت چپ برابر  $5^{\circ}$  سمت راست باشد، و

و با لحاظ کردن اثر کمانشی و همچنین لحاظ کردن تغییر شکل‌های بزرگ انجام شد. معیار گسیختگی در این تحلیل معیار فون میسز بود که برای اجسام شکل‌پذیر فرض درستی است.<sup>[۱۴]</sup> فرضیات تحلیل همان است که در نمونه‌ی آزمایشگاهی و مدل تحلیلی اولیه توضیح داده شده است.

### نتایج ناشی از تحلیل

نتایج ناشی از تحلیل در این بخش مشتمل بر منحنی رفتار لرزه‌ی لنگر مجموع، بر حسب اعوجاج برشی چشممه‌ی اتصال است که برای ۱۵ نمونه‌ی مورد بحث انجام شده است. همچنین پوشی که برای نمونه‌ها کشیده شده، مشخص کننده‌ی منحنی ظرفیت آنها است و قابل مقایسه با فرمول‌های ارائه شده در آیینه‌ها است.

در حلقه‌های هیسترزیس ۱۵ نمونه، خط‌های مستقیمی به عنوان خطوط ظرفیت کشیده شده است. که این خطوط با فرمول‌های زیر متناظرند. فرمول‌های مذکور از استاندارد ۲۸۰۰ استخراج شده‌اند که در آیینه‌ها و مراجع مختلف نحوه بدست آوردن آن‌ها موجود است.<sup>[۱۵]</sup> باشد. [۱۶] باید توجه داشت که فرمول‌های مذکور بر این اساس به دست آمد‌اند که چشممه‌ی اتصال در مود برشی تغییر شکل بدهد. اما از تغییر شکل‌های ناشی از تحلیل که از نمونه‌های تحلیلی به دست آمده است می‌توان دریافت که در تمامی حالات و در هندسه‌های مختلف این موضوع صحت ندارد. ظرفیت خمسی چشممه‌ی اتصال در استاندارد ۲۸۰۰ با فرمول ۱ مطابقت دارد، و فرمول ۲ با در نظر گرفتن اثر بارهای دائم در دیگر مراجع و استاندارد مذکور به دست آمده است.

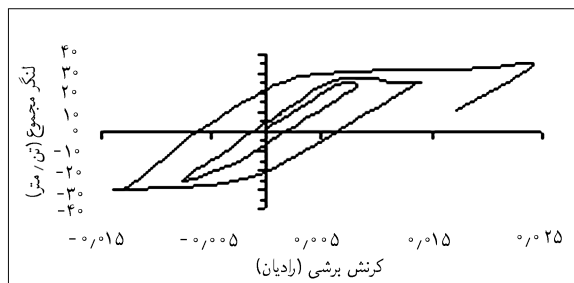
$$Mu1 = \frac{3 \cdot b_e \cdot t_{cf}^2}{55 \cdot F_y \cdot t_c \cdot d_c \cdot db_{max}} \cdot (1 + \frac{3 \cdot b_e \cdot t_{cf}^2}{db_{avg} \cdot d_c \cdot t_c}) \quad (1)$$

$$Mu2 = \frac{3 \cdot b_e \cdot t_{cf}^2}{55 \cdot F_y \cdot t_c \cdot d_c \cdot db_{max}} \cdot (1 + \frac{3 \cdot b_e \cdot t_{cf}^2}{8 \cdot db_{avg} \cdot d_c \cdot t_c}) \quad (2)$$

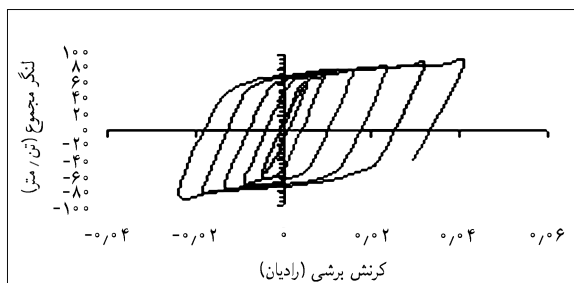
در این فرمول‌ها  $b_e$  عرض بال ستون،  $d_c$  ارتفاع مقطع ستون،  $db_{max}$  ارتفاع تیر متصل به ستون با ارتفاع بزرگ‌تر،  $db_{avg}$  میانگین ارتفاع تیرهای طرفین متصل به ستون، و  $t_c$  ضخامت جان ستون به علاوه‌ی ورق مضاعف، و  $t_{cf}$  ضخامت بال ستون است. شکل‌های ۱۳ تا ۲۷ منحنی و پوش رفتار لرزه‌ی این ۱۵ نمونه را نشان می‌دهند. در این نمونه‌ها منحنی خط‌چین نشان‌گر پوش حلقه‌های هیسترزیس است، و همچنین خطوط مستقیم در این اشکال نشان‌دهنده‌ی ظرفیت‌های ارائه شده‌ی متناظر با فرمول‌های ۱ و ۲ هستند.

### تفسیر و مقایسه‌ی نتایج تحلیل

چنان‌که در نمودارهای بخش پیشین و نمودار مقایسه‌ی شکل ۲۸ مشاهده می‌شود، با افزایش ضخامت بال ستون از سری ۱ نسبت به



شکل ۱۱. منحنی رفتار لرزه‌ی چشممه‌ی اتصال در نمونه‌ی ۵۰-۲۵ سری ۱، هنگامی که بارگذاری تغییر مکانی در تیر ۲۵،  $\frac{h}{h_0} = 4/89$  برابر ( $h_0 = 15$  تیر ۵۰ باشد).



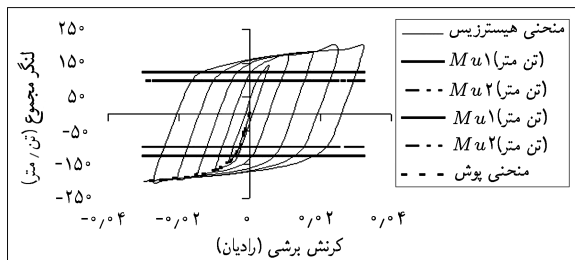
شکل ۱۲. منحنی رفتار لرزه‌ی چشممه‌ی اتصال در نمونه‌ی ۵۰-۲۵ سری ۱، هنگامی که بارگذاری تغییر مکانی در تیر ۲۵،  $\frac{h}{h_0} = 2$  برابر ( $h_0 = 4$ ) تیر باشد.

شکل ۱۱ و ۱۲ نتایج این تحلیل‌ها نیز در مورد نمونه‌های مذکور، مؤید صحت همین مطالب است.

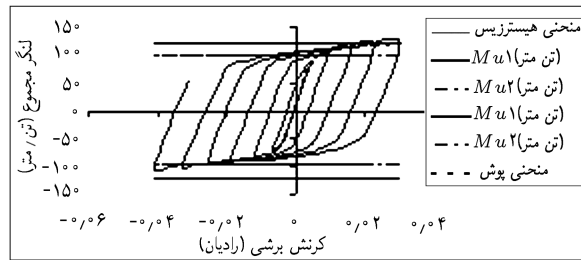
مطلوب دیگر بار محوری بود که روی ستون باید قرار داده شود تا شرایط، مشابه یک جزء قاب واقعی باشد. این بار محوری ممکن است در حد بارکمانشی ستون باشد؛ این مورد نیز تحلیل شد ولی با وجود بار محوری در حد بارکمانشی بعد از دو یا سه چرخه‌ی اولیه و با توجه به آزاد بودن سر ستون در تمام نمونه‌های تحلیلی، کمانش کلی سریعی اتفاق می‌افتد. در واقع این حد بار از بار واقعی ثقلی بسیار دور بود. آیین نامه‌های مختلف بار معادل تنش اسمی  $F_y = 40$  را بار ثقلی ستون قاب‌ها در نظر گرفته‌اند.<sup>[۱۷]</sup> بنابراین میزان نیروی بار محوری با معادل با تنش  $\frac{kg}{cm^2} = 96$  در ستون نمونه‌های تحلیلی قرار داده شد. با توجه به مطالب بار شده، بار رفت و برگشتی  $\pm 20 \text{ cm}$  و  $\pm 4 \text{ cm}$  و  $\pm 6 \text{ cm}$  تا  $\pm 20 \text{ cm}$  در  $10^\circ$  گام به تیر  $5^\circ$  مدل اعمال شد. برای تیر طرف مقابل همان طور که گفته شد این میزان در نسبت‌های ارتفاعی تیر  $5^\circ$  به تیر مذکور ضرب شد.

### تحلیل اصلی

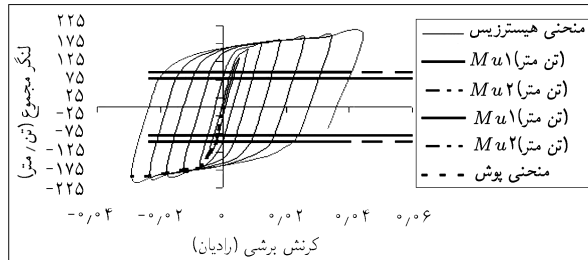
بعد از ملاحظات هندسی و تحلیلی و طراحی نمونه‌ها و بارگذاری، تحلیل اصلی (برای هر ۱۵ نمونه) انجام شد. تحلیل از نوع استاتیکی غیرخطی



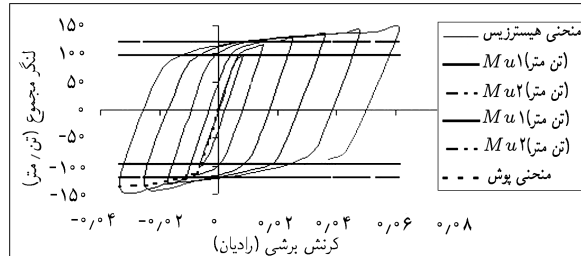
شکل ۱۸. منحنی رفتار لرزه‌بی نمونه‌ی ۵۰-۵۰ از سری ۲.



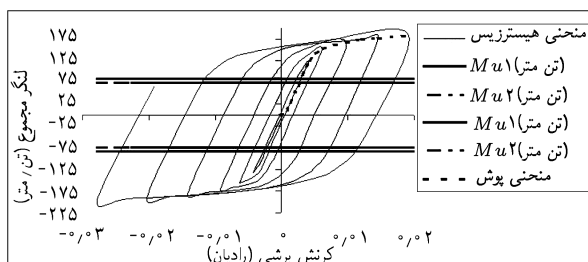
شکل ۱۳. منحنی رفتار لرزه‌بی نمونه‌ی ۵۰-۵۰ از سری ۱.



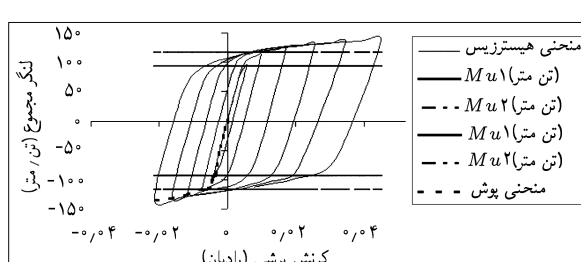
شکل ۱۹. منحنی رفتار لرزه‌بی نمونه‌ی ۵۰-۴۰ از سری ۲.



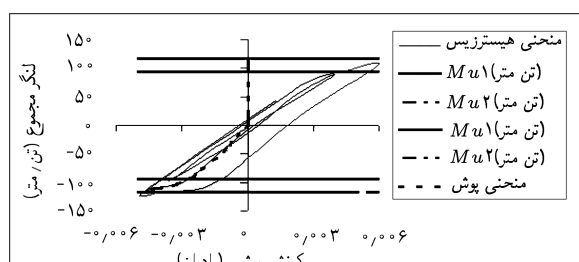
شکل ۱۴. منحنی رفتار لرزه‌بی نمونه‌ی ۵۰-۴۰ از سری ۱.



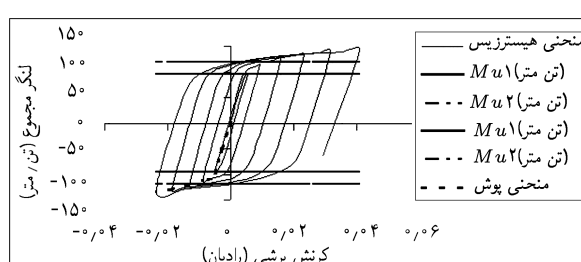
شکل ۲۰. منحنی رفتار لرزه‌بی نمونه‌ی ۵۰-۳۲ از سری ۲.



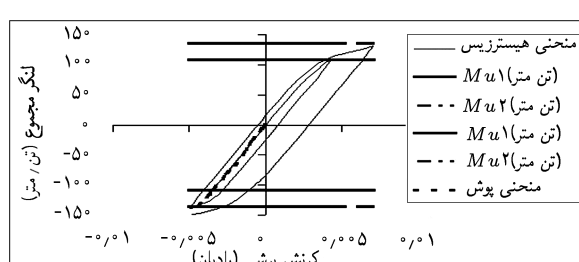
شکل ۱۵. منحنی رفتار لرزه‌بی نمونه ۵۰-۳۲ از سری ۱.



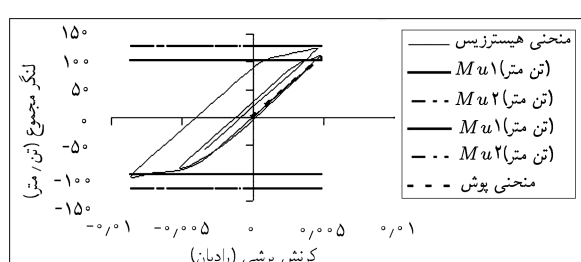
شکل ۲۱. منحنی رفتار لرزه‌بی نمونه‌ی ۵۰-۲۵ از سری ۲.



شکل ۱۶. منحنی رفتار لرزه‌بی نمونه‌ی ۵۰-۲۵ از سری ۱.

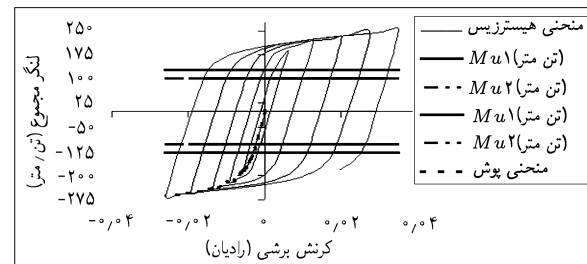


شکل ۲۲. منحنی رفتار لرزه‌بی نمونه‌ی ۵۰-۰ از سری ۲.

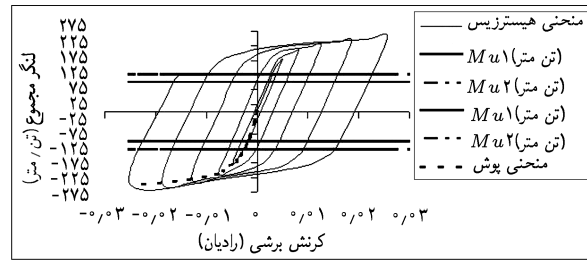


شکل ۱۷. منحنی رفتار لرزه‌بی نمونه‌ی ۵۰-۰ از سری ۱.

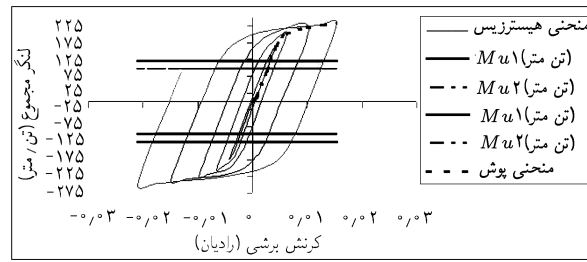
سری ۲ و همچنین از سری ۲ نسبت به سری ۳ ظرفیت چشمهدی اتصال افزایش می‌باید. این ظرفیت در سری ۱، بهویژه در نمونه‌ی ۵۰-۵۰، با توجه به حلقه‌های هیسترزیس رسم شده در شکل ۱۳ در یک سمت (در قسمت فشاری) حداقل استاندارد ۲۸۰° (فرمول ۱ و ۲) را تأمین نمی‌کند. همچنین نمونه‌ی ۵۰-۰-۰ از این سری، استاندارد مذکور این حداقل را تأمین نمی‌کند، اما دیگر نمونه‌های این سری این حداقل را تأمین می‌کنند. با مشاهده مود شکست در خروجی نرم افزار برای هر نمونه از این سری می‌توان مشاهده کرد که مود تغییرشکل غالب برشی است؛ به این معنی که مرزهای چشمهدی اتصال و بال ستون بعد از تغییر شکل تقریباً به صورت خط مستقیم باقی می‌مانند. تغییر شکل فقط در چهارگوشی چشمهدی اتصال در بال ستون به صورت تاب خورده‌ی مشاهده می‌شود. این فرض همان فرض مبنای فرمول‌های ۱ و ۲ است.<sup>[۱۵]</sup> برای نمونه‌های این سری با مشاهده تغییر شکل چشمهدی اتصال می‌توان دریافت که این فرض تا حد زیادی صحیح است؛ همچنین در سری ۵۰-۵۰ و ۵۰-۰ که دو ورق پیوستگی دارند و محیط چشمهدی اتصال یک محیط مربع مستطیل به ابعاد  $50 \times 60$  سانتی‌متر است. عمل تأمین‌شدن حداقل استاندارد ۲۸۰° در این نمونه‌ها، کمانش خارج از صفحه‌ی مرکز چشمهدی اتصال است، در صورتی که در نمونه‌های دیگر از این سری، یعنی نمونه‌های ۵۰-۴۰ و ۶۰-۳۲ و ۵۰-۲۵ و ۵۰-۳۲ محیط چشمهدی اتصال که همان ابعاد  $50 \times 60$  سانتی‌متر را دارد، بوسیله‌ی ورق پیوستگی مجاور بال تیرکوچک تر به دو ناحیه تقسیم می‌شود؛ در واقع این ورق پیوستگی برای این ناحیه نقش سخت‌کننده را نیز دارد. همچنین با مشاهده ضخامت چشمهدی اتصال در جدول ۶، می‌توان مشاهده کرد که ضخامت‌های اختصاص یافته‌ی چشمهدی اتصال برای سری ۱ طبق فرمول ۱ برابر  $1/2$  و  $2/2$  سانتی‌متر است که مقادیر تقریباً ثابتی است. ظرفیت چشمهدی اتصال در این سری، به جز نمونه‌هایی که چشمهدی اتصال آنها کمانش موضعی خارج از صفحه یافته (نمونه‌ی ۵۰-۵۰ و ۵۰-۰) تقریباً ثابت است. همان‌طور که در ابتدای این قسمت اشاره شد، افزایش ظرفیت چشمهدی اتصال با افزایش ضخامت بال ستون همراه است. با دیدن تصاویر تغییر شکل سری ۲ و ۳ می‌توان دریافت که مرزهای چشمهدی اتصال در مجاورت بال‌های ستون بعد از تغییر شکل به صورت مستقیم باقی نمی‌مانند، بلکه خمیده و منحنی شکل می‌شوند. این خمیدگی در نمونه‌های سری ۳، نسبت به سری ۲، بیشتر مشاهده می‌شود و مود خمشی در سری ۲، و خیلی بیشتر از آن در سری ۳، حاکم بر تغییر شکل چشمهدی اتصال است. نتیجی که محققین برای بارگذاری افزاینده‌ی تدریجی غیرخطی ارائه کرده‌اند<sup>[۸]</sup> تأییدی بر این مطلب است. بنابراین محاسبه‌ی ظرفیت چشمهدی اتصال از فرمول‌های ۱ و ۲ (استاندارد ۲۸۰°) که بر مبنای تغییر شکل برشی چشمهدی اتصال محاسبه شده‌اند<sup>[۱۵]</sup> برای سری ۲ و



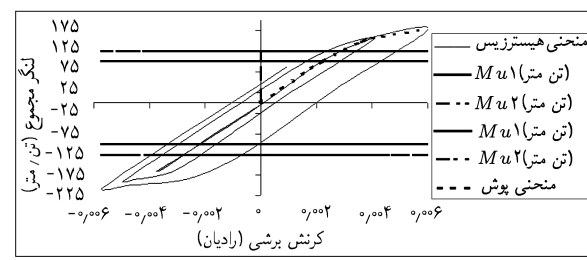
شکل ۲۳. منحنی رفتار لرزه‌بی نمونه‌ی ۵۰-۵۰ از سری ۳.



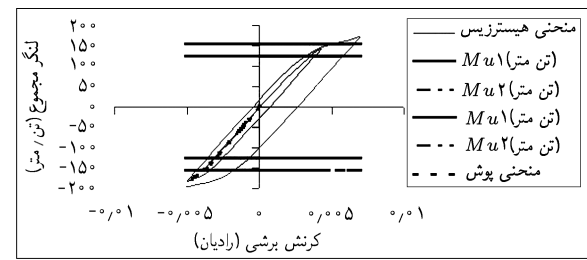
شکل ۲۴. منحنی رفتار لرزه‌بی نمونه‌ی ۵۰-۴۰ از سری ۳.



شکل ۲۵. منحنی رفتار لرزه‌بی نمونه‌ی ۵۰-۳۲ از سری ۳.



شکل ۲۶. منحنی رفتار لرزه‌بی نمونه‌ی ۵۰-۲۵ از سری ۳.

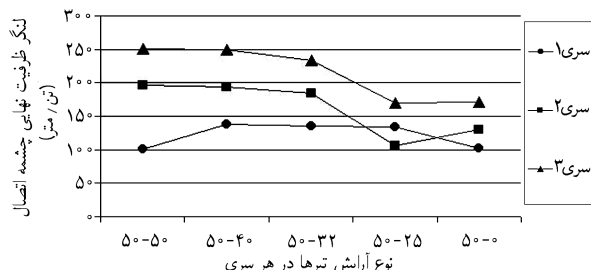


شکل ۲۷. منحنی رفتار لرزه‌بی نمونه‌ی ۵۰-۰ از سری ۳.

چشمی اتصال نسبت به نمونه‌ی ۵۰-۵ در هر سری شده است و درنتیجه ظرفیت نهایی چشمی اتصال نسبت به نمونه‌های ۵۰-۵ کمتر است.

براساس نتایج حاصل از تحلیل، در نمونه‌های سری ۳ با افزایش اختلاف ارتفاع تیر دو طرف ستون، ظرفیت چشمی اتصال کاهش می‌یابد (نمونه‌هایی با مود غالب تغییر شکل خمی چشمی اتصال). این روند در سری ۲ نیز وجود دارد؛ البته در مرور نمونه‌ی ۵۰-۲۵ در این سری که با کمانش موضعی بال ستون متصل به تیر کوچک‌تر و جان ستون در ناحیه‌ی چشمی اتصال همراه است، کاهش ظرفیت چشمی اتصال نسبت به سایر نمونه‌ها — و حتی نسبت به نمونه‌ی ۵۰-۰ در این سری بیشتر است. در سری ۱ با توجه به وجود ۳ ورق پیوستگی در نمونه‌ها با تیرهای نابرابر در دو طرف چشمی اتصال (نمونه‌های ۵۰-۲۵ و ۵۰-۳۲ و ۵۰-۴۰) وجود یک ورق پیوستگی مقابل به بال پایینی تیر کوچک‌تر که در بین دو ورق پیوستگی دیگر در چشمی اتصال در هر طرف قرار دارد، از طرفی باعث مانعت از کمانش خارج از صفحه‌ی چشمی اتصال شده است و از طرفی دیگر، به عنوان یک قید اضافی از کمانش موضعی بال ستون طرف تیر کوچک‌تر جلوگیری کرده است که در مجموع این عوامل باعث افزایش ظرفیت چشمی اتصال در مقایسه با نمونه‌های ۵۰-۰ و ۵۰-۵ در سری مذکور شده است، که در این نمونه‌ها فقط دو ورق پیوستگی در هر طرف چشمی اتصال وجود دارد. به طور کلی در شرایط یکسان، آرایش تیرها در هر نمونه با افزایش ضخامت بال ستون ظرفیت چشمی اتصال افزایش می‌یابد.

در سری ۲ نمونه ۵۰-۲۵ که با افزایش ضخامت بال ستون نسبت به سری ۱ همراه است (از مقدار ۲/۵ به ۳/۵ سانتی‌متر) با توجه به طراحی ورق پیوستگی براساس مبحث دهم آین نامه فولاد ایران<sup>[۹]</sup>، نیاز به ورق پیوستگی نیست، با توجه به عدم وجود ورق پیوستگی به عنوان یک سخت‌کننده جانی چشمی اتصال در این سری، در چشمی اتصال و همچنین بال ستون در محل برخورد به بال پایینی تیر کوچک‌تر



شکل ۲۸. نمودارهای مقایسه‌ی ظرفیت برخی برای نمونه‌های با چشمی اتصال طراحی شده بر مبنای مقاومتی.

۳، به خصوص برای سری ۳، دور از واقعیت به نظر می‌رسد. همچنین با توجه به این که ضخامت بال ستون از سری ۱ به ۲، و از ۲ به ۳ افزایش یافته و درنتیجه گیرداری مرزهای چشمی اتصال بیشتر شده است. همچنین ضخامت ورق مضاعف فرض شده در هر نمونه (سری ۳ نسبت به ۲، و سری ۲ نسبت به سری ۱) با توجه به فرمول ۱ کمتر شده است. بنابراین با افزایش صلبیت مرزهای چشمی اتصال، امکان کمانش موضعی ورق چشمی اتصال از بین رفته است و در خروجی تصویری اقتباس شده از نرم‌افزار این کمانش موضعی ورق چشمی اتصال دیده نمی‌شود. نکته‌ی دیگر این که با توجه به شکل ۲۸، با کاهش ارتفاع تیر در یک سمت در سری ۲ و ۳ ظرفیت چشمی اتصال کاهش می‌یابد. که علت آن وجود بال پایینی تیر کوچک‌تر است که به بال ستون، در حد فاصل ارتفاع چشمی اتصال، متصل است و با توجه به مود تغییر شکلی این دو سری که بیشتر خمی است، بال پایینی تیر کوچک‌تر از خم شدن کامل مرزهای چشمی اتصال در امتداد عمود بر بال ستون جلوگیری می‌کند. میزان تغییر شکل و انحنای مرزهای چشمی اتصال و بالهای ستون در این قسمت، به‌واسطه‌ی وجود بال پایینی تیر کوچک‌تر در نمونه‌های ۵۰-۴۰ و ۵۰-۳۲ و ۵۰-۰ در نمونه‌های ۵۰-۴۰ و ۵۰-۳۲ و ۵۰-۰ به عنوان مانع و تکیه‌گاه نسبی در برابر تغییر شکل چشمی اتصال به ترتیب با کاهش ارتفاع تیر کوچک‌تر و متمایل شدن بال تیر کوچک‌تر به وسط ارتفاع چشمی اتصال در مجاورت بال ستون، کاهش می‌یابد. همچنین با مراجعه به جداول ۷ و ۸ دیده می‌شود که میزان ضخامت چشمی اتصال مورد نیاز طبق فرمول ۱ به ترتیب از نمونه‌ی ۵۰-۴۰ تا ۵۰-۲۵ در سری ۲ و ۳ کاهش می‌یابد. با توجه به عوامل فوق، و با کم شدن میزان انحنا، در می‌یابیم که میزان ظرفیت نهایی نیز به ترتیب در نمونه‌های مذکور کاهش می‌یابد. با حذف تیر در یک سمت مانند نمونه‌های ۵۰-۰ در سری ۲ و ۳ مانع نسبی در تغییر شکل خمی چشمی اتصال (مانند بال پایینی تیر کوچک‌تر در نمونه‌های ۵۰-۴۰ و ۵۰-۳۲ و ۵۰-۰ به ۵۰-۲۵) رفع شده و ظرفیت این نمونه‌ها نسبت به نمونه‌ی قبلی در هر سری، یعنی نمونه‌ی ۵۰-۲۵، افزایش محسوسی می‌یابد. اما این مقدار به ظرفیت نمونه‌های مذکور دارند نمی‌رسد. با دیدن تصاویر تغییر شکل مرزهای چشمی اتصال چنین به نظر می‌رسد که مرزهای چشمی اتصال در این نمونه‌ها، چون از یک طرف محدود به تیر نیستند، میزان تغییر شکل‌ها و انحنای در مرز آزاد سمت بدون تیر و همچنین تنش‌های فون میس بسیار کمتر از قسمتی از چشمی اتصال است که به تیر متصل است. همچنین با توجه به جداول ۷ و ۸ مقدار ضخامت مورد نیاز در تحلیل، طبق فرمول ۱ در نمونه‌ی ۵۰-۰ در سری ۲ و ۳ بسیار کمتر از نمونه‌ی ۵۰-۵۰ است. درنتیجه می‌توان دریافت که عوامل مذکور باعث کم شدن انحنا و خمیدگی نهایی در

فرمول ۲ نیز در نمونه‌هایی که ارتفاع تیر کوچک‌تر از نصف ارتفاع تیر بزرگ‌تر است محافظه‌کارانه است.

۳. نتیجه‌بی که از مشاهده‌ی تغییر شکل‌های چشممه‌ی اتصال در نمونه‌ها می‌توان دریافت این است که با افزایش ضخامت بال ستون مود رفتاری چشممه‌ی اتصال از برشی به خمی تغییر می‌کند و روابط ۱ و ۲ که بر مبنای تغییر شکل در مود برش به وجود آمده‌اند برای آنها درست نیست. این مطلب در سری‌های ۲ و ۳ مشهود است و تفاوت‌های فاحشی که در ظرفیت چشممه‌ی اتصال ناشی از تحلیل نسبت به فرمول ارائه شده در استاندارد ۲۸۰۰ برای تخمین ظرفیت چشممه‌ی اتصال در این سری‌ها دیده می‌شود، نشان دهنده‌ی این مطلب است. در مجموع به نظر می‌رسد روابط ارائه شده در استاندارد ۲۸۰۰ باید طوری اصلاح شوند که همه‌ی شرایط هندسی را پوشش دهند.

۴. از شکل ۲۸ و مطالب بیان شده از بخش ۱۲ می‌توان دریافت که وجود ورق‌های پیوستگی -- به خصوص در تیرهای نابرابر که باید ورق پیوستگی سومی رو بروی بال پایینی تیر کوچک‌تر قرار داد -- به خصوص در نمونه‌هایی که به ورق پیوستگی مطابق آین نامه‌ی فولاد ایران<sup>[۶]</sup> نیاز دارند به عنوان یک سخت‌کننده باعث جلوگیری از کمانش موضعی خارج از صفحه‌ی چشممه‌ی اتصال و نتیجتاً کاهش ظرفیت چشممه‌ی اتصال می‌شود. بنابراین، وجود ورق پیوستگی سوم رو بروی بال پایینی تیر کوچک‌تر در برخی شرایط مستعد کمانش در چشممه‌ی اتصال، حتی در صورت عدم نیاز در ظرفیت چشممه‌ی اتصال در تیرهای نابرابر در دو طرف مؤثر تشخیص داده می‌شود.<sup>[۷]</sup>

کمانش جانبی صورت گرفته است و در نتیجه ظرفیت چشممه اتصال آن پایین‌تر از سری ۱ قرار گرفته است. اما در سری ۳ در نمونه ۵۰-۲۵ با افزایش ضخامت بال ستون به اندازه ۴/۵ سانتی‌متر، موجب حذف کمانش‌های موضعی آن شده و ظرفیت آن را نسبت به همین آرایش تیر، در سری ۲ افزایش داده است.

### نتیجه‌گیری

نتایج کلی حاصل از ارزیابی تحلیلی چشممه‌ی اتصال با شرایط هندسی متفاوت عبارت است از:

- در نمونه‌هایی که نسبت ضخامت بال ستون به ضخامت جان ستون عددی کوچک است (سری ۱) فرمول استفاده شده برای تخمین واقعی لنگر نظیر ظرفیت برشی چشممه‌ی اتصال (فرمول ۱) عددی نزدیک به واقعیت است. ولی فرمول ۲ برای چشممه‌ی اتصال با تیرهای برابر در دو طرف و یا برای ستون‌های خارجی عددی غیرمحافظه‌کارانه، و دور از واقعیت است. نتایج ارائه شده برای بارگذاری فراینده‌ی تدریجی غیرخطی<sup>[۷]</sup> مؤید این مطلب است، و بنابراین توصیه می‌شود در نمونه‌هایی که نسبت ضخامت بال ستون به جان ستون کوچک است، فرمول ۲ برای چشممه‌ی اتصال خارجی یا چشممه‌ی اتصال با تیرهای برابر استفاده نشود.
- در نمونه‌هایی که نسبت ضخامت بال ستون به جان ستون زیاد است (سری ۳)، فرمول ۱ که همان فرمول ارائه شده در استاندارد ۲۸۰۰ است بسیار محافظه‌کارانه و دور از واقعیت است. حتی

### پانوشت

1. strain hardening

### منابع

- Federal management agency FEMA 355 D-2000- State of the Art report on Connection Performance.
- Federal management agency FEMA 355 C-2000- State of the Art report System Performance of Steel moment frames Subject to Earthquake Ground Shaking.
- Federal management agency FEMA 355 F-2000- State of the Art report on Peformance Prediction and evaluation of Steel Moment Frames Bulding.
- Popov, E.P., Blondet, M.M.Stepamov, L. and

Stoja dinovic, B 1996 "Full-scale Steel Beam Coloumn Connection Tests", SAC 96-01 Part 2. SACjoint Venture.

- Popov, E.P., Blondet, M.M.Stepamov, L. and Stoja dinovic, B 1996 "Full-scale Steel Beam Coloumn Connection Tests", SAC 96-01 Part 2. SACjoint Venture.
- Popov, E.P, Amin, N.R.Louie. j.c, and Stephen, "Cyclic behavior of Large Beam to Column assemblies" *Earthquake Spectra*, 1 (2), pp. 203-238 (1985).
- EL-Tawil,S. "Panel Zone Yielding in Steel Moment Connections", *AISC Engineering Journal*, 3, pp. 120-130 (2000).
- EL-Tawil, S. Mikesell, T. kunnath, S. Vidarsson,

- E Febuary "inelastic Behavior and Design of Steel Panel Zone", *Journal of Structural Engineering*, **125** (2), (2000).
۹. دفتر نظمات مهندسی، «مقررات ملی ساختمان ایران مبحث دهم طرح و اجرای ساختمان‌های فولادی» چاپ صنوبر (۱۳۷۷).
۱۰. مرکز تحقیقات ساختمان و مسکن، «آین‌نامه طراحی ساختمان‌ها در برابر زلزله» چاپخانه مرکز؛ ویرایش دوم (۱۳۷۹).
۱۱. طاحونی، شاپور، زندی امیرپیمان، «اتصالات در سازه‌های فولادی» انتشارات دهخدا (۱۳۷۴).
۱۲. احمدی‌جزنی، روح‌ا...؛ حسینی‌هاشمی. بهرج. «بررسی اثر چشمی اتصال بر رفتار لرزه‌بی قاب مقاوم خمشی فولادی»، پایان‌نامه‌ی کارشناسی ارشد مهندسی زلزله (۱۳۸۴).
13. Schinder, S.P. and Amidi A. "Seismic Behavior of Steel Frames With Deformable Panel Zone", *Journal of Structural Engineering ASCE*, **124** (1), pp. 35-42 (1998).
14. Chen, W.F. "Joint Flexibility in Steel Frames", MC Graw-Hill Book Co. Third Printing (1987).
15. Krawinkler, H. "Shear Design of Steel Frame Joints", *Engineering Journal AISC*, **15** (3), (1978).
16. Popov, E.P. "Panel Zone Flexibility in Seismic Moment Joints", *Journal of Construction in Steel research Barking, England Vol & pp.* 91-118 (1987).
17. Englekirk, P.E.E, "Extant Panel Zone Design Procedures for Steel Frames are Questioned", *Earthquake Speaktra*, **15** (2), (1999).